

### CMT826X 高速六通道增强型数字隔离器

## 1 特性

- 安全相关认证
  - DIN VDE V 0884-11: 2017-01
  - 符合 UL 1577 组件认证
  - CSA 认证,符合 IEC 60950-1, IEC 62368-1, IEC 61010-1 and IEC 60601-1 终端设备标准
  - 符合 GB4943.1-2022 的 CQC 认证
  - 符合 EN 60950-1, EN 62368-1 和 EN 61010-1 标准的 TUV 认证。
- 增强电磁兼容性(EMC)
  - 系统级 ESD、EFT、浪涌抗扰性
  - ±8kV IEC 61000-4-2 跨隔离栅接触放电保护
  - 低辐射
- 数据率: 高达 150Mbps
- 宽电源电压范围: 2.5 V 至 5.5 V
- 工作环境温度范围: -40°C to125°C
- 稳健可靠的隔离栅:
  - 40 年以上的预期使用寿命
  - 高达 **5 kV**<sub>RMS</sub> 隔离额定值
  - 高达 8 kV 浪涌能力
  - ± 250 kV/µs 典型 CMTI
- 默认输出高电平和低电平选项
- 低功耗, 1 Mbps 时每通道的电流典型值为 1.5 mA
- 低传播延迟: 典型值为 9 ns (由 5V 电源供电)
- SOIC-16 封装 (宽体和窄体)

## 2 应用

- 工业自动化
- 新能源汽车
- 光伏逆变器
- 电机控制
- 隔离式 SPI
- 通用多通道隔离

## 3 描述

CMT826X 为高性能六通道数字隔离器,该产品 采用二氧化硅(SiO2) 绝缘栅,支持高达 5.7kVrms 隔 离电压。

该数字隔离器用于两个不同电源域间通讯,以防 止数据总线或其他电路上的噪声电流进入本地接地或 者干扰及损坏敏感电路。

CMT826X 具有多达六路正向通道或三路反向通道。如果输入功率或信号出现损失,CMT826X1 默认输出高电平而 CMT826X0 默认输出低电平,详见"功能模式"相关章节描述。.

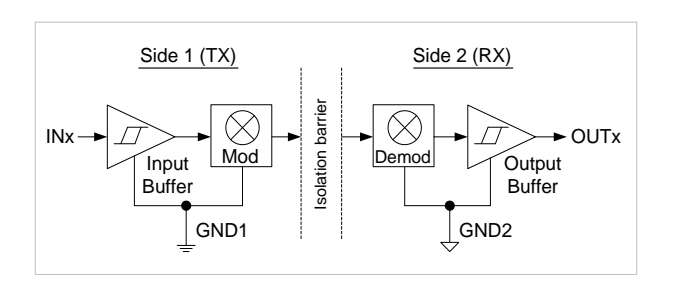
该器件能够以较低的功耗实现高电磁抗扰度和低辐射。CMT826X 采用创新性芯片设计和布局,显著增强了器件电磁兼容性,可满足系统级 ESD、EFT、浪涌和辐射方面的合规要求。

CMT826X 系列芯片同时支持 SOIC-16 宽体及窄体封装。

### 芯片订购信息

芯片型号	封装	尺寸 (mm x mm)			
CMTOOCY	NB(N)SOIC-16 窄体	9.90 x 3.90			
CMT826X	WB(W) SOIC-16 宽体	10.30 x 7.50			
更多订购信息详见第 14 章节。					

#### 简化原理图



# 目 录

1	特性	1
2	应用	1
3	描述	1
4	绝对最大额定值	3
	推荐运行条件	
	ESD 额定值	
	· · · · - —	
7	管脚描述	5
8	典型应用	
	8.1 典型应用原理图	6
	8.2 PCB 布局指南	
9	参数测试电路	8
10	0 电气特性	10
	10.1 电气特性	
	10.2 电源电流特性 - 3.3 V 电源	
	10.4 电源电流特性 - 2.5 V 电源	
	10.5 典型性能	
	10.6 隔离特性	
	10.7 安规认证	19
	10.8 安全限定值	
	10.9 温度特性	20
11	1 功能描述	21
	11.1 功能概述	21
	11.2 功能模式	21
	11.3 绝缘寿命	22
12	2 封装外形	23
	12.1 CMT826X 窄体 SOIC-16 封装	23
	12.2 CMT826X 宽体 SOIC-16 封装	
13	3 订购信息	
	4 编带信息	
	5 文档变更记录	
16	6 联系方式	30

# 4 绝对最大额定值

表 1. 绝对最大额定值[1]

参数	符号	条件	最小	最大	单位
电源电压[2]	VDD1, VDD2		-0.5	6	V
最大输入电压	INx	x = A, B, C, D	-0.4	VDD+0.4	V
最大输出电压	OUTx	x = A, B, C, D	-0.4	VDD+0.4	V
最大输入/输出脉冲电压	-	脉冲宽度应小于 100 ns, duty cycle 应小于 10%。	-0.8	VDD+0.8	٧
瞬态共模抑制	CMTI			±250	kV/us
输出电流	Io		-15	15	mA
最大浪涌抑制	-			8	kV
工作温度	TA		-40	125	$^{\circ}\mathbb{C}$
存储温度	T <sub>STG</sub>		-40	150	$^{\circ}\mathbb{C}$

#### 备注:

- [1]. 超过"绝对最大额定参数"可能会造成设备永久性损坏。该值为压力额定值,并不意味着在该压力条件下设备功能受影响, 但如果长时间暴露在绝对最大额定值条件下,可能会影响设备可靠性。
- [2]. 除差分 I/O 总线电压外,所有电压值为相对于本地接地端(GND1 或 GND2)且为峰值电压。

# 5 推荐运行条件

表 2. 推荐运行条件

参数	符号	条件	最小	典型	最大	単位
电源电压	VDD1, VDD2		2.5	5	5.5	V
高电平输入电压	VIH	VDDI: 输入侧 VDD	2		VDDI	V
低电平输入电压	V <sub>IL</sub>	VDDI: 输入侧 VDD	0		0.8	V
数据率	DR		0		150	Mbps
工作温度	T <sub>A</sub>		-40	25	125	$^{\circ}$
结温	TJ		-40		150	$^{\circ}$

# **6** ESD 额定值

表 3. ESD 额定值

参数	符号	条件	最大	单位
静电放电	V <sub>ESD</sub>	人体模型(HBM)	±8000	\/
		组件充电模式 (CDM)	± 2000	V

### 备注:

- [1]. 通过隔离栅施加 IEC ESD 电击,每侧的所有引脚连接在一起,形成一个双端装置。
- [2]. 在空气或油中进行试验,以确定器件本征接触放电能力。



警告! ESD敏感器件.对芯片进行操作的时候应注意做好ESD防范措施,以免芯片的性能下降或者功能丧失。

# 7 管脚描述

CMT8260, CMT8261, CMT8262 and CMT8263 均支持 SOIC-16 窄体和宽体封装,管脚信息如下。

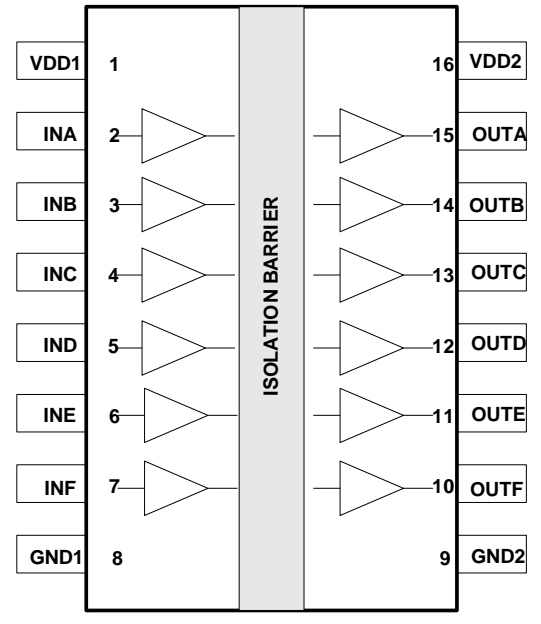


图 1. CMT8260 管脚图

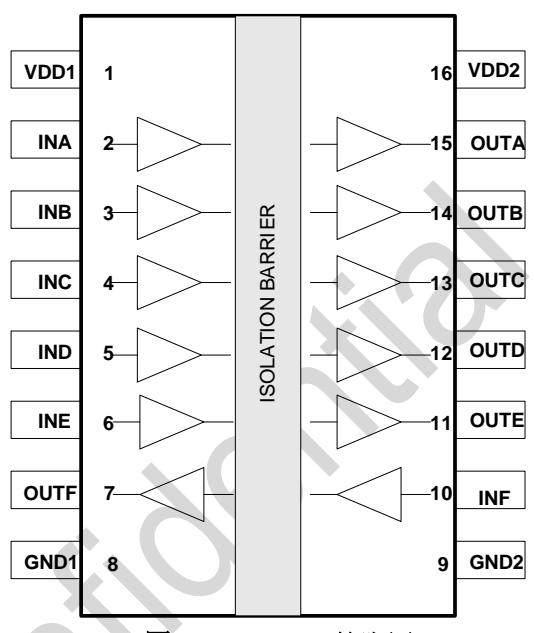
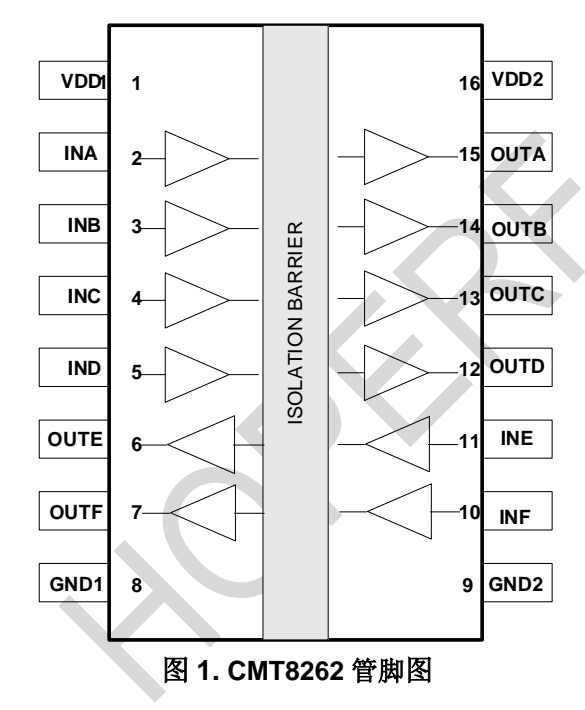


图 2. CMT8261 管脚图



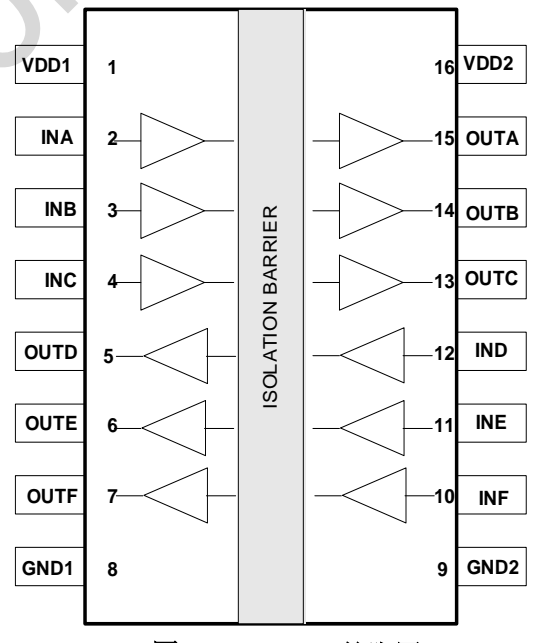


图 4. CMT8263 管脚图

禁眦友护			管脚号		다. 수요 2월 미터
管脚名称	CMT8260	CMT8261	CMT8262	CMT8263	功能说明
VDD1	1	1	1	1	隔离器第一侧的电源输入。
INA	2	2	2	2	逻辑输入 A。
INB	3	3	3	3	逻辑输入B。
INC	4	4	4	4	逻辑输入C。
IND	5	5	5	12	逻辑输入D。
INE	6	6	11	11	逻辑输入E。
INF	7	10	10	10	逻辑输入F
GND1	8	8	8	8	隔离器第一侧的接地基准。
GND2	9	9	9	9	隔离器第二侧的接地基准。
OUTF	10	7	7	7	逻辑输出F。
OUTE	11	11	6	6	逻辑输出E。
OUTD	12	12	12	5	逻辑输出D。
OUTC	13	13	13	13	逻辑输出C。
OUTB	14	14	14	14	逻辑输出B。
OUTA	15	15	15	15	逻辑输出A。
VDD2	16	16	16	16	隔离器第二侧的电源输入。

表 4. CMT8260 / 61 / 62 / 63 管脚描述

# 8 典型应用

## 8.1 典型应用原理图

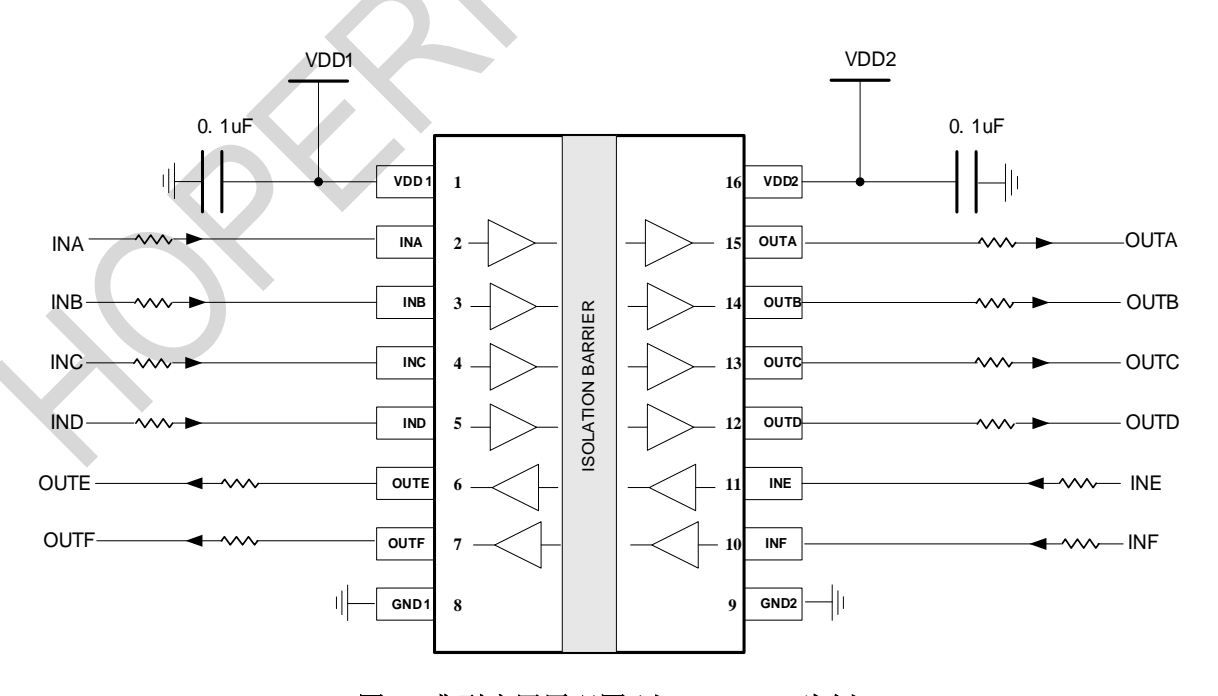


图 2. 典型应用原理图(以 CMT8262 为例)

备注: 用户须注意不能将 VDD 与地接反。

### 8.2 PCB 布局指南

CMT826X VDD1 到 GND1 以及 VDD2 到 GND2 至少需要一个 0.1uF 旁路电容;摆放时电容要尽可能接近芯片的电源引脚 VDD1 与 VDD2。如下图推荐的 PCB 布局所示,需确保 IC 底下的间隙远离走线、焊盘、过孔等。为增强设计稳健性,设计时可以在信号输入/输出串联 50~300ohm 电阻;这些电阻不仅可以增强噪声抑制能力,同时还可以增强系统的可靠性,比如抗闩锁能力。

CMT826X 典型输出阻抗为 50ohm ±40%。当驱动呈现传输线特性时,输出布线需要进行阻抗匹配。

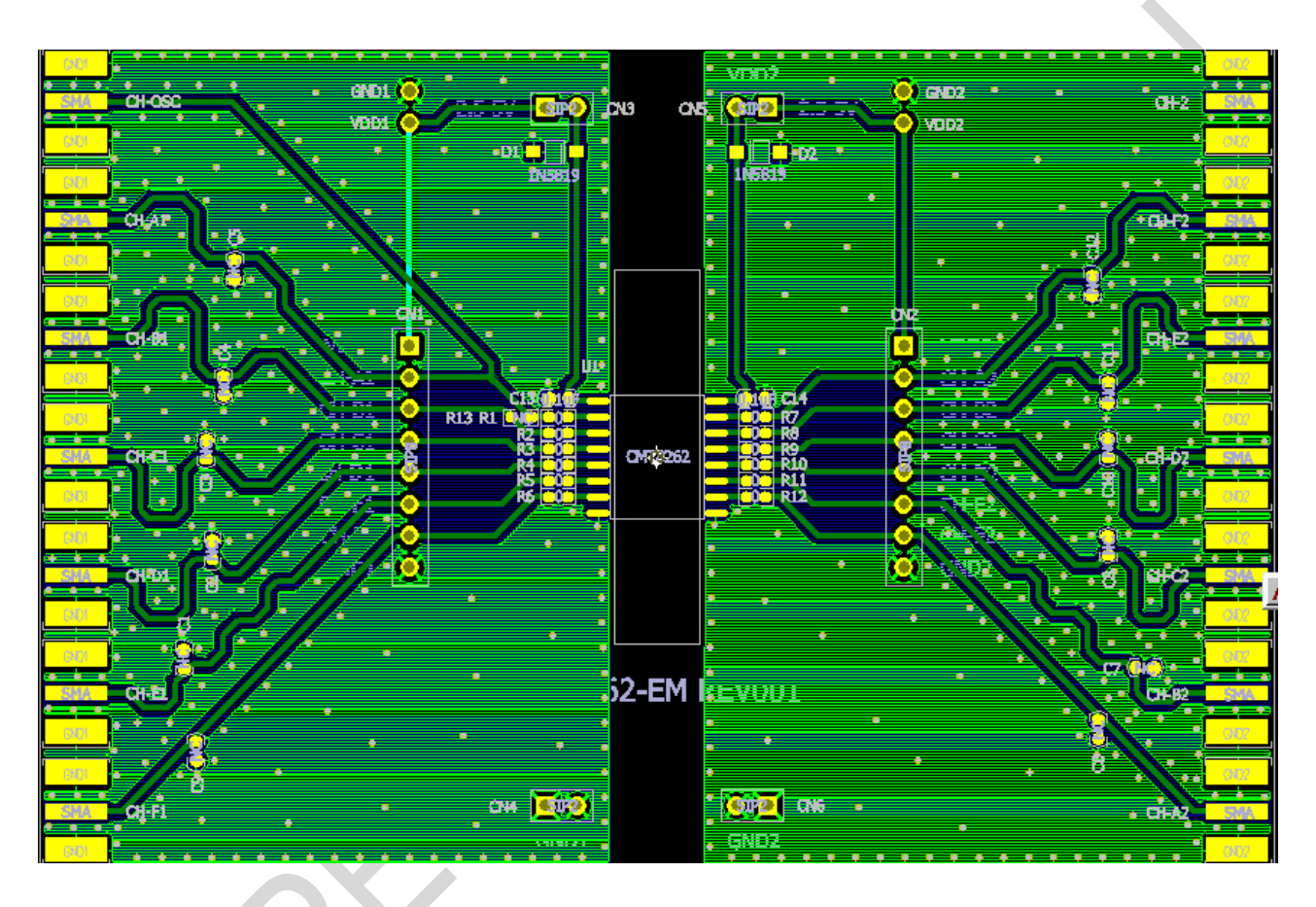


图 3. 推荐 PCB 布局

## 9参数测试电路

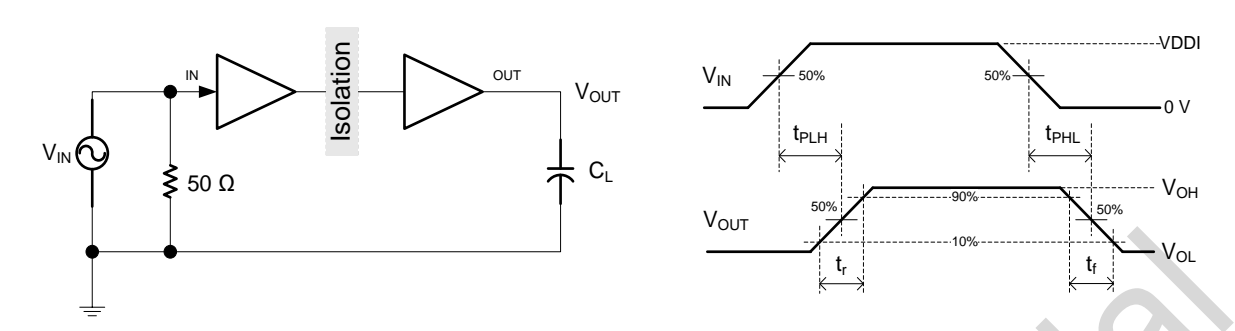


图 4. 开关特性测试电路及波形

### 备注:

- 1. 输入脉冲由波形发生器产生, $V_{IN}$  主要技术指标:  $f_{PULSE} \le 100$  kHz, 50% duty cycle,  $t_r \le 3$  ns,  $t_f \le 3$  ns,  $Z_O = 50$   $\Omega$ 。在输入侧,需要一个 50- $\Omega$  终端匹配电阻,实际应用电路则不需要该电阻。
- 2. 负载电容对测试结果影响较大,合计仪器设备和连接等效电容最好不超过 15 pF。

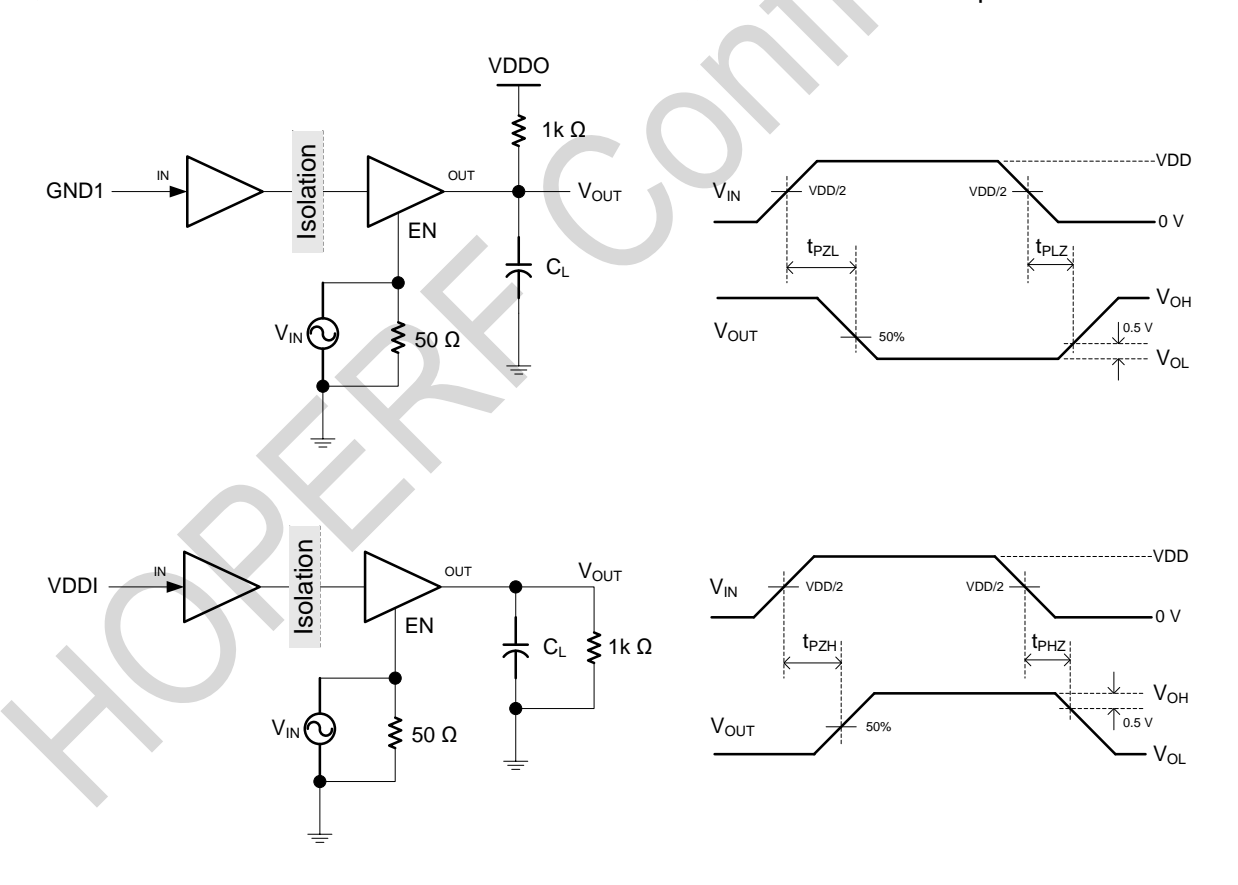


图 5. 使能/关闭传播延时测试电路及波形

#### 备注:

- 1. 输入脉冲由波形发生器产生,主要技术指标:  $f_{PULSE} \le 10$  kHz, 50% duty cycle,  $t_r \le 3$  ns,  $t_f \le 3$  ns,  $Z_O = 50$   $\Omega$ 。
- 2.  $C_L = 15 pF$  ,合计仪器设备和连接等效电容在 $\pm 20\%$ 范围内。

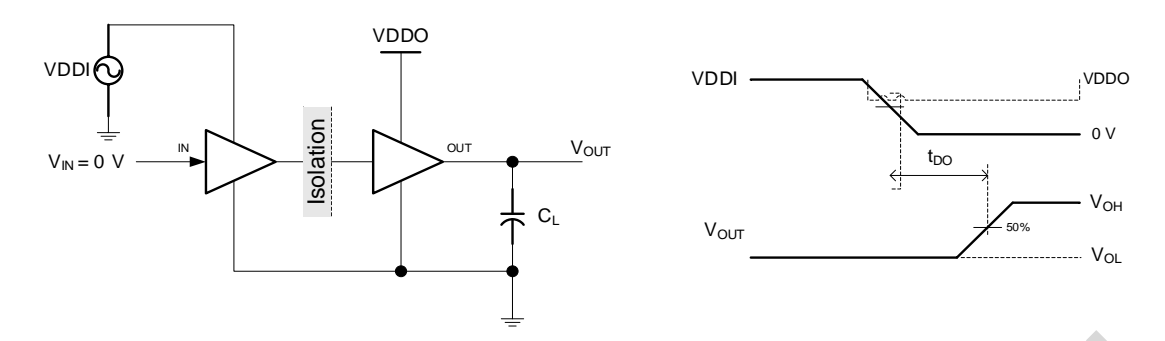


图 6.缺省输出延时测试电路和电压波形

### 备注:

- 1.  $C_L = 15 pF$ ,合计仪器设备和连接等效电容在 $\pm 20\%$ 范围内。
- 2. 电源斜率= 10 mV/ns。

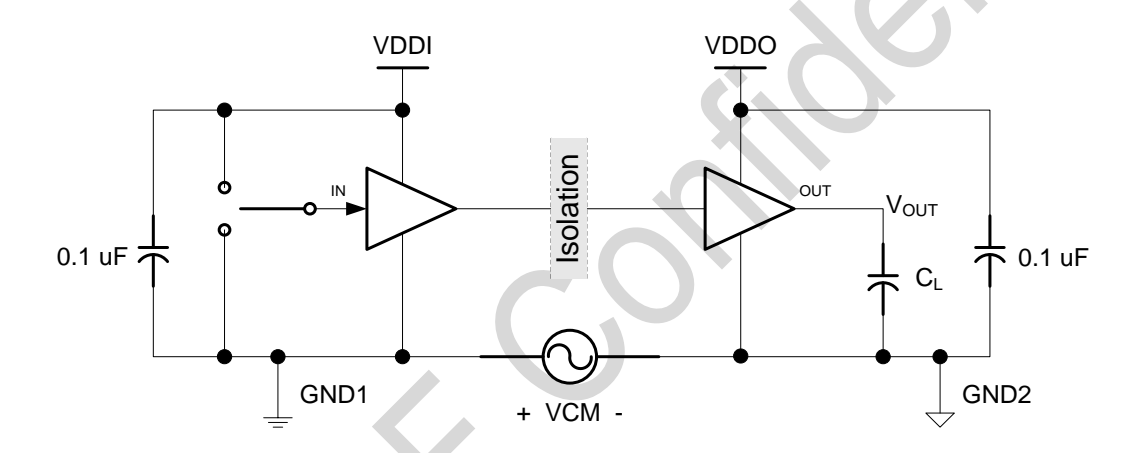


图 7. 瞬态共模抑制能力测试电路

### 备注:

1.  $C_L = 15 pF$ ,合计仪器设备和连接等效电容在 $\pm 20\%$ 范围内。

# 10 电气特性

### 10.1 电气特性

VDD1 =2.5V~5.5V, VDD2= 3.0 V~5.5 V, TA= -40 to 125 °C.

(除非另外说明, 所有典型规格是在 VDD1= 5V, VDD2 = 5V, TA = 25℃的情况下测得的。)

表 5. 电气特性

参数	符号	条件	最小	典型	最大	单位
L由有於(DOD)	$V_{POR}$	上电复位门限		2.3 🦠		V
上电复位(POR)	V <sub>HYS</sub>	上电复位门限迟滞		0.1		V
\$△	V <sub>IT</sub>	上升沿输入门限		1.6		V
输入迟滞 	V <sub>ITHYS</sub>	输入门限迟滞		0.4		V
输入高电平	V <sub>IH</sub>		2			V
输入低电平	V <sub>IL</sub>		AX		0.8	V
输出高电平	V <sub>OH</sub>	I <sub>OH</sub> =-4mA	VDD- 0.3			V
输出低电平	V <sub>OL</sub>	I <sub>OL</sub> = 4mA			0.3	V
输出阻抗	Ro			50		Ω
输入上拉/下拉电流	lpull			13		uA
POR之后启动时间	trbs			10		us
瞬态共模抑制	CMTI		150	250	270	kV/us

# 10.2 电源电流特性 - 5 V 电源

VDD1 = VDD2 = 5 V,  $T_A$ = -40 to 125  $^{\circ}$ C  $_{\circ}$ 

表 6. 电源电流特性 - 5 V 电源

参数	符号	典型值	最大值	单位				
CMT8260								
电源电流	I <sub>DD1</sub>	1.34		mA				
$EN = VDDI, V_{IN} = 0 V$	I <sub>DD2</sub>	3.09		mA				
电源电流: 关闭器件。	I <sub>DD1</sub>	10.56		mA				
$EN = VDDI, V_{IN} = VDDI,$	I <sub>DD2</sub>	3.24		mA				
电源电流: 1 Mbps 方波时钟输入 AC 信号。	I <sub>DD1</sub>	5.88		mA				
所有通道开关信号为 1 Mbps 方波输入, $C_L = 15 \text{ pF}$ 。	I <sub>DD2</sub>	3.28		mA				
电源电流: 10 Mbps 方波时钟输入 AC 信号。	I <sub>DD1</sub>	5.94		mA				
所有通道开关信号为 10 Mbps 方波输入, $C_L = 15 \text{ pF}$ 。	I <sub>DD2</sub>	4.47		mA				
电源电流: 100 Mbps 方波时钟输入 AC 信号。	I <sub>DD1</sub>	8.22		mA				
所有通道开关信号为 100 Mbps 方波输入, $C_L = 15 pF$ 。	I <sub>DD2</sub>	28.96		mA				
CMT8261								
电源电流	I <sub>DD1</sub>	1.69		mA				

参数	符号	典型值	最大值	单位
V <sub>IN</sub> =0 V	I <sub>DD2</sub>	3.36		mA
电源电流: 关闭器件。	I <sub>DD1</sub>	9.25		mA
$V_{IN} = VDDI$ ,	I <sub>DD2</sub>	4.98		mA
电源电流: 1 Mbps 方波时钟输入 AC 信号。	I <sub>DD1</sub>	5.50		mA
所有通道开关信号为 1 Mbps 方波输入, $C_L = 15 pF$ 。	I <sub>DD2</sub>	4.39		mA
电源电流: 10 Mbps 方波时钟输入 AC 信号。	I <sub>DD1</sub>	5.84		mA
所有通道开关信号为 10 Mbps 方波输入, $C_L = 15 pF$ 。	I <sub>DD2</sub>	6.42		mA
电源电流: 100 Mbps 方波时钟输入 AC 信号。	I <sub>DD1</sub>	9.68		mA
所有通道开关信号为 100 Mbps 方波输入, $C_L = 15 pF$ 。	I <sub>DD2</sub>	27.68	<b>*</b> _ ( )	mA
CMT8262			$\times$	
电源电流	I <sub>DD1</sub>	2.13		mA
$V_{IN}=0 V$	I <sub>DD2</sub>	2.99		mA
电源电流: 关闭器件。	I <sub>DD1</sub>	8.27		mA
$V_{IN} = VDDI$ ,	I <sub>DD2</sub>	6.12		mA
电源电流: 1 Mbps 方波时钟输入 AC 信号。	I <sub>DD1</sub>	5.26		mA
所有通道开关信号为 1 Mbps 方波输入, $C_L = 15 \text{ pF}$ 。	I <sub>DD2</sub>	4.74		mA
电源电流: 10 Mbps 方波时钟输入 AC 信号。	I <sub>DD1</sub>	5.97		mA
所有通道开关信号为 10 Mbps 方波输入, $C_L = 15 pF$ 。	I <sub>DD2</sub>	6.32		mA
电源电流: 100 Mbps 方波时钟输入 AC 信号。	I <sub>DD1</sub>	13.87		mA
所有通道开关信号为 100 Mbps 方波输入,C <sub>L</sub> = 15 pF。	I <sub>DD2</sub>	22.16		mA
CMT8263				
电源电流	I <sub>DD1</sub>	2.56		mA
$V_{IN}=0 V$	I <sub>DD2</sub>	2.51		mA
电源电流: 关闭器件。	I <sub>DD1</sub>	7.31		mA
$V_{IN} = VDDI$ ,	I <sub>DD2</sub>	7.13		mA
电源电流: 1 Mbps 方波时钟输入 AC 信号。	I <sub>DD1</sub>	5.04		mA
所有通道开关信号为 1 Mbps 方波输入, $C_L = 15 pF$ 。	I <sub>DD2</sub>	4.99		mA
电源电流: 10 Mbps 方波时钟输入 AC 信号。	I <sub>DD1</sub>	6.20		mA
所有通道开关信号为 10 Mbps 方波输入, $C_L = 15 \text{ pF}$ 。	I <sub>DD2</sub>	6.29		mA
电源电流: 100 Mbps 方波时钟输入 AC 信号。	I <sub>DD1</sub>	18.30		mA
所有通道开关信号为 100 Mbps 方波输入, $C_L = 15 pF$ 。	I <sub>DD2</sub>	19.04		mA

### 表 6-1. 电源电流特性 - 5 V 电源(CMT826X 共同特性)

参数	符号	条件	最小	典型	最大	单位
数据率	DR		0	150		Mbps
最小脉冲宽度	PW	详见图 6, CL = 15pF		5		ns
上升沿传播延时	t <sub>PLH</sub>	详见图 6,CL = 15pF		7.53		ns
下降沿传播延时	t <sub>PHL</sub>	详见图 6, CL = 15pF		8.43		ns
脉宽失真 t PHL - t PLH	PWD	详见图 6,CL = 15pF		0.9		ns
上升时间	tr	详见图 6,CL = 15pF		0.8		ns

参数	符号	条件	最小	典型	最大	单位
下降时间	tf	详见图 6,CL = 15pF		0.85		ns
眼图抖动峰值	t <sub>JIT</sub> (PK)			400		ps
通道间延时偏差	t <sub>SK</sub> (c2c)			0.3	2.5	ns
芯片间延时偏差	t <sub>SK</sub> (p2p)				5	ns

## 10.3 电源电流特性 - 3.3 V 电源

VDD1 = VDD2 = 3.3 V,  $T_A$ = -40 to 125  $^{\circ}\mathrm{C}$   $_{\circ}$ 

表 7. 电源电流特性 - 3.3 V 电源

参数	符号	典型值	最大值	単位
CMT8260		CA		
电源电流	I <sub>DD1</sub>	1.34		mA
$V_{IN}=0 V$	I <sub>DD2</sub>	3.08		mA
电源电流:。	I <sub>DD1</sub>	10.46		mA
$V_{IN} = VDDI$ ,	I <sub>DD2</sub>	3.23		mA
电源电流: 1 Mbps 方波时钟输入 AC 信号。	I <sub>DD1</sub>	5.89		mA
所有通道开关信号为 1 Mbps 方波输入, $C_L = 15 \text{ pF}$ 。	I <sub>DD2</sub>	3.33		mA
电源电流: 10 Mbps 方波时钟输入 AC 信号。	I <sub>DD1</sub>	5.95		mA
所有通道开关信号为 10 Mbps 方波输入,C <sub>L</sub> = 15 pF。	I <sub>DD2</sub>	4.88		mA
电源电流: 100 Mbps 方波时钟输入 AC 信号。	I <sub>DD1</sub>	7.10		mA
所有通道开关信号为 100 Mbps 方波输入, $C_L = 15 pF$ 。	I <sub>DD2</sub>	21.12		mA
CMT8261				
电源电流	I <sub>DD1</sub>	1.73		mA
$V_{IN}=0$ V	I <sub>DD2</sub>	3.28		mA
电源电流:	I <sub>DD1</sub>	9.43		mA
V <sub>IN</sub> =VDDI,	I <sub>DD2</sub>	4.89		mA
电源电流: 1 Mbps 方波时钟输入 AC 信号。	I <sub>DD1</sub>	5.59		mA
所有通道开关信号为 1 Mbps 方波输入, $C_L = 15 \text{ pF}$ 。	I <sub>DD2</sub>	4.23		mA
电源电流: 10 Mbps 方波时钟输入 AC 信号。	I <sub>DD1</sub>	5.78		mA
所有通道开关信号为 10 Mbps 方波输入, $C_L = 15 pF$ 。	I <sub>DD2</sub>	5.58		mA
电源电流: 100 Mbps 方波时钟输入 AC 信号。	I <sub>DD1</sub>	9.61		mA
所有通道开关信号为 100 Mbps 方波输入,C <sub>L</sub> = 15 pF。	I <sub>DD2</sub>	19.86		mA
CMT8262				
电源电流	I <sub>DD1</sub>	2.11		mA
$V_{IN} = 0 V$	I <sub>DD2</sub>	2.97		mA
电源电流:	I <sub>DD1</sub>	8.22		mA
$V_{IN} = VDDI$ ,	I <sub>DD2</sub>	6.09		mA
电源电流: 1 Mbps 方波时钟输入 AC 信号。	I <sub>DD1</sub>	5.20		mA

参数	符号	典型值	最大值	单位
所有通道开关信号为 1 Mbps 方波输入, $C_L = 15  pF$ 。	I <sub>DD2</sub>	4.66		mA
电源电流: 10 Mbps 方波时钟输入 AC 信号。	I <sub>DD1</sub>	5.63		mA
所有通道开关信号为 10 Mbps 方波输入,C <sub>L</sub> = 15 pF。	I <sub>DD2</sub>	5.71		mA
电源电流: 100 Mbps 方波时钟输入 AC 信号。	I <sub>DD1</sub>	11.92		mA
所有通道开关信号为 100 Mbps 方波输入, $C_L = 15 \text{ pF}$ 。	I <sub>DD2</sub>	16.61		mA
CMT8263				
电源电流	I <sub>DD1</sub>	2.54		mA
$V_{IN} = 0 V$	I <sub>DD2</sub>	2.50		mA
电源电流:	I <sub>DD1</sub>	7.27	<b>\</b>	mA
$V_{IN} = VDDI$ ,	I <sub>DD2</sub>	7.10		mA
电源电流: 1 Mbps 方波时钟输入 AC 信号。	I <sub>DD1</sub>	4.97		mA
所有通道开关信号为 1 Mbps 方波输入, $C_L = 15 pF$ 。	I <sub>DD2</sub>	4.91		mA
电源电流: 10 Mbps 方波时钟输入 AC 信号。	I <sub>DD1</sub>	5.70		mA
所有通道开关信号为 10 Mbps 方波输入, C <sub>L</sub> = 15 pF。	I <sub>DD2</sub>	5.78		mA
电源电流: 100 Mbps 方波时钟输入 AC 信号。	I <sub>DD1</sub>	14.70		mA
所有通道开关信号为 100 Mbps 方波输入, $C_L = 15 pF$ 。	I <sub>DD2</sub>	14.74		mA

表 7. 电源电流特性 - 3.3V 电源(CMT826X 共同特性)

参数	符号	条件	最小	典型	最大	单位
数据率	DR		0	150		Mbps
最小脉冲宽度	PW	详见图 6,CL = 15pF		5		ns
上升沿传播延时	t <sub>PLH</sub>	详见图 6,CL = 15pF		8		ns
下降沿传播延时	t <sub>PHL</sub>	详见图 6,CL = 15pF		8.7		ns
脉宽失真 t PHL - t PLH	PWD	详见图 6,CL = 15pF		0.7		ns
上升时间	tr	详见图 6,CL = 15pF		1		ns
下降时间	tf	详见图 6,CL = 15pF		0.9		ns
眼图抖动峰值	t <sub>JIT</sub> (PK)			400		ps
通道间延时偏差	t <sub>SK</sub> (c2c)			0.5	2.5	ns
芯片间延时偏差	t <sub>SK</sub> (p2p)				5	ns

# 10.4 电源电流特性 - 2.5 V 电源

VDD1 = VDD2 = 2.5 V,  $T_A$ = -40 to 125  $^{\circ}$ C  $_{\circ}$ 

表 8. 电源电流特性 - 2.5 V 电源

参数	符号	典型值	最大值	单位
CMT8260				
电源电流	I <sub>DD1</sub>	1.33		mA
$EN = VDDI, V_{IN} = 0 V$	I <sub>DD2</sub>	3.16		mA
电源电流:	I <sub>DD1</sub>	10.46		mA
$EN = VDDI, V_{IN} = VDDI,$	I <sub>DD2</sub>	3.30		mA

参数	符号	典型值	最大值	单位
电源电流: 1 Mbps 方波时钟输入 AC 信号。	I <sub>DD1</sub>	5.87		mA
所有通道开关信号为 1 Mbps 方波输入, $C_L = 15 \text{ pF}$ 。	I <sub>DD2</sub>	3.37		mA
电源电流: 10 Mbps 方波时钟输入 AC 信号。	I <sub>DD1</sub>	6.00		mA
所有通道开关信号为 10 Mbps 方波输入, $C_L = 15 pF$ 。	I <sub>DD2</sub>	5.80		mA
电源电流: 100 Mbps 方波时钟输入 AC 信号。	I <sub>DD1</sub>	5.44		mA
所有通道开关信号为 100 Mbps 方波输入, $C_L = 15 \text{ pF}$ 。	I <sub>DD2</sub>	16.83		mA
CMT8261	•			
电源电流	I <sub>DD1</sub>	1.67		mA
$V_{IN} = 0 V$	I <sub>DD2</sub>	3.34	<b>\</b>	mA
电源电流:	I <sub>DD1</sub>	9.16	X	mA
$V_{IN} = VDDI$ ,	I <sub>DD2</sub>	4.95		mA
电源电流: 1 Mbps 方波时钟输入 AC 信号。	I <sub>DD1</sub>	5.42		mA
所有通道开关信号为 1 Mbps 方波输入, $C_L = 15 \text{ pF}$ 。	I <sub>DD2</sub>	4.26		mA
电源电流: 10 Mbps 方波时钟输入 AC 信号。	I <sub>DD1</sub>	5.55		mA
所有通道开关信号为 10 Mbps 方波输入,C <sub>L</sub> = 15 pF。	I <sub>DD2</sub>	5.29		mA
电源电流: 100 Mbps 方波时钟输入 AC 信号。	I <sub>DD1</sub>	7.30		mA
所有通道开关信号为 100 Mbps 方波输入,C <sub>L</sub> = 15 pF。	I <sub>DD2</sub>	16.00		mA
CMT8262			1	
电源电流	I <sub>DD1</sub>	2.16		mA
V <sub>IN</sub> =0 V	I <sub>DD2</sub>	2.95		mA
电源电流:	I <sub>DD1</sub>	8.33		mA
V <sub>IN</sub> =VDDI,	I <sub>DD2</sub>	6.04		mA
电源电流: 1 Mbps 方波时钟输入 AC 信号。	I <sub>DD1</sub>	5.26		mA
所有通道开关信号为 1 Mbps 方波输入, $C_L = 15 \text{ pF}$ 。	I <sub>DD2</sub>	4.59		mA
电源电流: 10 Mbps 方波时钟输入 AC 信号。	I <sub>DD1</sub>	5.56		mA
所有通道开关信号为 10 Mbps 方波输入,CL = 15 pF。	I <sub>DD2</sub>	5.40		mA
电源电流: 100 Mbps 方波时钟输入 AC 信号。	I <sub>DD1</sub>	9.37		mA
所有通道开关信号为 100 Mbps 方波输入,C <sub>L</sub> = 15 pF。	I <sub>DD2</sub>	13.51		mA
CMT8263			1	
电源电流	I <sub>DD1</sub>	2.54		mA
V <sub>IN</sub> =0 V	I <sub>DD2</sub>	2.49		mA
电源电流:	I <sub>DD1</sub>	7.24		mA
V <sub>IN</sub> =VDDI,	I <sub>DD2</sub>	7.08		mA
电源电流: 1 Mbps 方波时钟输入 AC 信号。	I <sub>DD1</sub>	4.94		mA
所有通道开关信号为 1 Mbps 方波输入,C <sub>L</sub> = 15 pF。	I <sub>DD2</sub>	4.88		mA
	I <sub>DD1</sub>	5.47		mA
所有通道开关信号为 10 Mbps 方波输入,C <sub>L</sub> = 15 pF。	I <sub>DD2</sub>	5.53		mA
		I	1	
电源电流: 100 Mbps 方波时钟输入 AC 信号。	I <sub>DD1</sub>	11.47		mA

表 8. 电源电流特性 - 2.5V 电源(CMT826X 共同特性)

参数	符号	条件	最小	典型	最大	単位
数据率	DR		0	150		Mbps
最小脉冲宽度	PW	详见图 6, CL = 15pF		5		ns
上升沿传播延时	t <sub>PLH</sub>	详见图 6,CL = 15pF		8.63		ns
下降沿传播延时	t <sub>PHL</sub>	详见图 6,CL = 15pF		9.11		ns
脉宽失真 t PHL - t PLH	PWD	详见图 6,CL = 15pF		0.48		ns
上升时间	tr	详见图 6,CL = 15pF		1.04		ns
下降时间	tf	详见图 6,CL = 15pF		1.23	<b>\</b>	ns
眼图抖动峰值	t <sub>JIT</sub> (PK)			400	X	ps
通道间延时偏差	t <sub>SK</sub> (c2c)			0.7	2.5	ns
芯片间延时偏差	t <sub>SK</sub> (p2p)			0	5	ns

### 10.5 典型性能

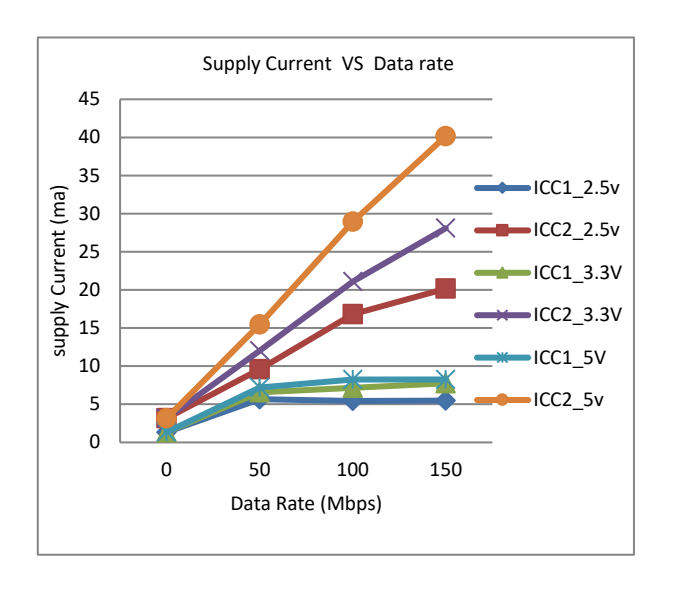


图 9-1.电源电流 vs.数据率 (15-pF 负载) T<sub>A</sub>=25℃ C<sub>L</sub>=15pF

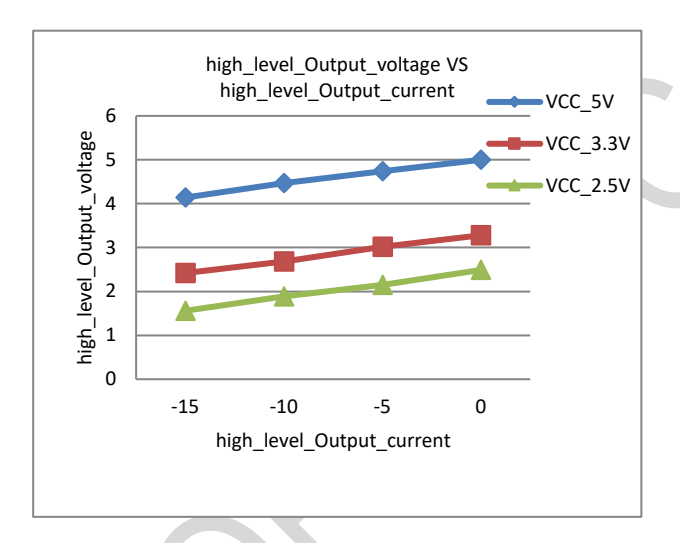


图 9-3. 高电平输出电压 vs. 高电平输出电流 (T<sub>A</sub>=25℃)

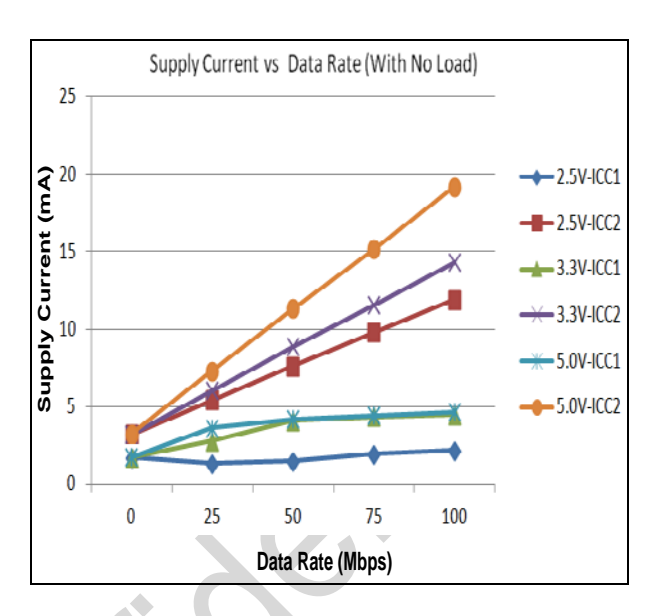


图 9-2. 电源电流 vs.数据率 (无负载) T<sub>A</sub>=25℃ C<sub>L</sub>=No Load

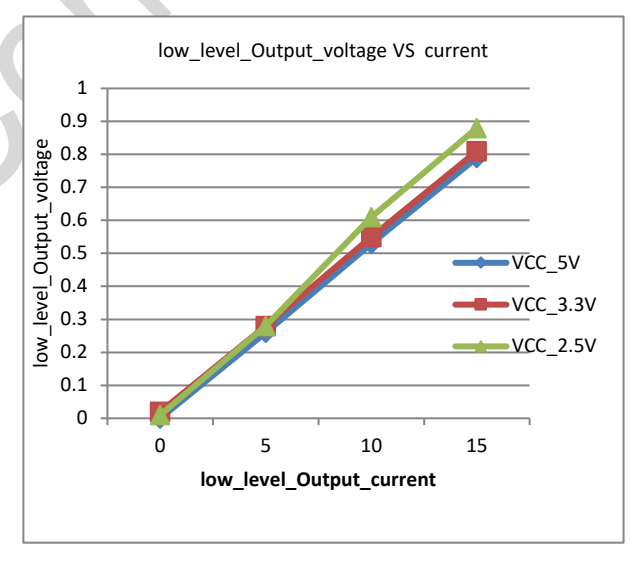


图 9-4. 低电平输出电压 vs. 低电平输出电流(T<sub>A</sub>=25℃)

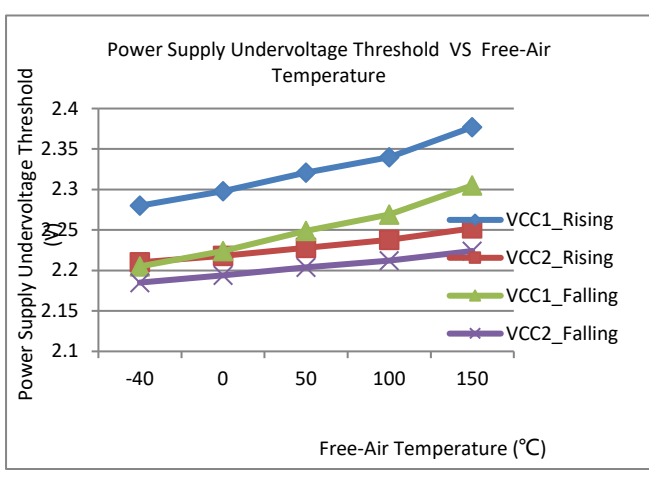


图 9-5. 电源欠压阈值 vs. 大气温度

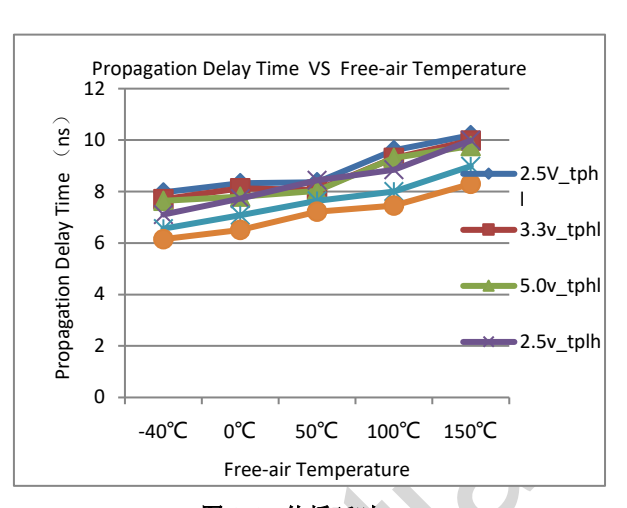


图 9-6. 传播延时 vs. 大气温度

## 10.6 隔离特性

表 9. 隔离特性

参数	符号 测试条件 NI		ſ	単位	
<b>少</b> 知			NBSOIC-16	WB SOIC-16	平位
外部间隙[1]	CLR	输入端至输出端隔空最短距离	4.0	8.0	mm
外部爬电距离[1]	CRP	输入端至输出端沿壳体最短距离	4.0	8.0	mm
隔离距离	DTI	最小内部间隙	32	32	um
相对漏电指数	CTI	DIN EN 60112 (VDE 0303-11);IEC 60112	> 400	>600	V
材料组	(-)		1	1	-
	V	额定电源电压≤ 300 V <sub>RMS</sub>	ı	I	-
过电压等级 (按 IEC 60664-1 标准)	-	额定电源电压≤ 600 V <sub>RMS</sub>	I-IV	I-IV	-
(1X IZO COCCI I MINIE)		额定电源电压≤ 1000 V <sub>RMS</sub>	1-111	1-111	-
DIN VDE V 0884-11:2017-01[2]					
最大工作绝缘电压(峰值)	$V_{IORM}$		565	2121	$V_{pk}$
最大工作绝缘电压 (有效值)	V <sub>IOWM</sub>	交流电压 (正弦波); 介质层时变击穿(TDDB)测试	400	1500	$V_{\text{RMS}}$
(1776)	10000	直流电压		2121	$V_{DC}$
最大瞬态耐压	VIOTM	VTEST = VIOTM	5300	8000	$V_{pk}$
最大浪涌隔离耐压[3]	V <sub>IOSM</sub>	按IEC60065 方法测试, 1.2/50 us 波形, V <sub>TEST</sub> = 1.6 x V <sub>IOSM</sub> (认证)	5300	8000	$V_{pk}$
表观电荷[4]	q <sub>pd</sub>	方法 a: 在 I/O 安全测试分组 2/3 之后, V <sub>ini</sub> = V <sub>IOTM</sub> , t <sub>ini</sub> = 60 s; V <sub>pd(m)</sub> = 1.2 x V <sub>IORM</sub> , t <sub>m</sub> = 10 s		<5	рС

参数	符号 测试条件		有	単位	
<b>少</b> 数	42.2	侧风余竹	NBSOIC-16	WB SOIC-16	
		方法 a: 在环境测试分组 1 之后, V <sub>ini</sub> = V <sub>IOTM</sub> , t <sub>ini</sub> = 60 s; V <sub>pd(m)</sub> = 1.6 × V <sub>IORM</sub> , t <sub>m</sub> = 10 s		<5	
		方法 b1: 例行测试(100%量产) 和预处理 (类型 测试) V <sub>ini</sub> = V <sub>IOTM</sub> , t <sub>ini</sub> = 1 s; V <sub>pd(m)</sub> = 1.875 × V <sub>IORM</sub> , t <sub>m</sub> = 1 s		<b>&lt;</b> 5	
隔离电容,输入到输出 [5]	C <sub>IO</sub>	V <sub>IO</sub> = 0.4 x sin (2πft), f = 1 MHz	1.2	1.2	pF
隔离电阻,输入到输出[5]	R <sub>IO</sub>	V <sub>IO</sub> = 500 V	>1010	>1010	Ω
UL 1577					
隔离耐压	V <sub>ISO</sub>	V <sub>TEST</sub> = V <sub>ISO</sub> , t = 60 s (认证); V <sub>TEST</sub> = 1.2 × V <sub>ISO</sub> , t = 1 s (100%量产)	3750	5700	$V_{RMS}$

#### 备注:

- [1]. 应根据应用的设备隔离标准采纳相应的爬电距离和间隙需求标准。PCB 设计中应注意保持爬电距离和间隙距离,确保板上隔离器的安装垫不会导致相应距离减少。某些情况下,PCB 板上的爬电距离和间隙是相等的。在 PCB 板上加凹槽和/肋条设计有助于改善该指标。
- [2]. 该隔离器仅适用于安全额定值范围内的安全电气绝缘。应通过适当的保护电路确保符合安全额定值。
- [3]. 在空气或油中进行测试,以确定隔离栅的固有浪涌抗扰度。
- [4]. 表观电荷是由局部放电(pd)引起的放电。
- [5]. 隔离栅两侧的所有管脚连接在一起,形成一个双端装置。

Rev 0.4 | 18/30

## 10.7 安规认证

表 10.安规认证

VDE	UL		CQC	TUV
DIN VDE V0884-11:2017-01 认 证 (申请中)	UL 1577 Component Recognition Program	Approved under CSA Component Acceptance Notice 5A	GB 4943.1-2011 认证	EN 61010-1:2010 (3rd Ed) and EN 60950-1:2006/A2: 2013 认证 (申请中)
证书编号:申请中	证书编号: UL-US-2439077-1		证书编号: CQC11-471543-2022	证书编号:申请中

## 10.8 安全限定值

设置安全限定值的目的在于: 当输入或输出电路故障时可以尽量减少对隔离栅的可能损坏。I/O 故障可能导致对地或电源的低电阻; 因而,在不限制电流的情况下,过多的功率损耗会导致模具过热并造成隔离栅损坏,从而可能导致系统二次故障。

表 11. 安全限值

参数	符号 测试条件		徝	単位	
多数			NBSOIC-16	WBSOIC-16	平位
2.444) 44.11 1.77.1.79		R <sub>0JA</sub> = 140 °C/W, V <sub>I</sub> = 5.5 V, T <sub>J</sub> = 125 °C, T <sub>A</sub> = 25 °C	160		mA
安全输入、输出、电源电流	ls	$R_{\theta JA} = 84 ^{\circ}\text{C/W},  V_{I} = 5.5 ^{\circ}\text{V}, \ T_{J} = 125 ^{\circ}\text{C},  T_{A} = 25 ^{\circ}\text{C}$		237	mA
25℃下功率总损耗	Ps	<u></u>		1499	mW
外壳温度	Ts		125	125	$^{\circ}$

Rev 0.4 | 19/30 www.hoperf.cn

# 10.9 温度特性

表 12. 温度特性

<b>会</b> 粉	符号	值	単位	
<b>参数</b>	加五	NB SOIC-16	WB SOIC-16	<del>甲</del> 亚
结至环境热阻	θЈА	78.9	78.9	°C/W
结至外壳(顶部)热阻	θ <sub>JC</sub> (top)	41.1	41.6	°C/W
结至板热阻	$\theta_{JB}$	49.5	43.6	°C/W

## 11 功能描述

### 11.1 功能概述

CMT826X 为高性能六通道数字隔离器,其隔离额定值可达 5700 V<sub>RMS</sub>。该器件支持 00K 调制方案,可以跨二氧化硅隔离栅进行数字数据传输。 发射器通过隔离栅发送高频载波表示一种数字状态,而不发送信号则表示另一种数字状态。 接收器在将信号进行预处理后进行信号解调,并通过缓冲级产生输出。 如果 ENx 引脚为低电平,则输出变为高阻抗。 CMT826X 还采用了先进的电路技术,以最大限度地提高 CMTI 性能并最大限度地减少由于高频载波和 IO 缓冲器切换引起的辐射。以下为 00K 调制方案工作原理示意图。

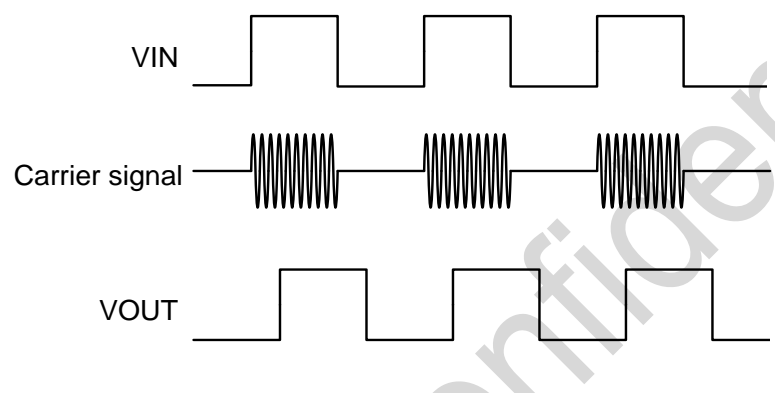


图 8.OOK 调制机制

### 11.2 功能模式

下表为 CMT826X 功能模式列表。

输出使能 输入 V<sub>DD1</sub> V<sub>DD2</sub> 描述 输出(OUTx)  $(INx)^{[2]}$ (ENx) H 或开路 Н Η 正常工作状态:通道的输出跟随对应的输入状态。 L L H或开路 PU PU 开路 H或开路 缺省 缺省模式: 当 INx 开路时,输出为缺省逻辑状态。 PU Х 7 Χ L 输出使能为低值时,输出为高阻态。 缺省模式: 当 VDDI 未上电时,通道输出采用基于所选默认选 项的逻辑状态; 当 VDD1 从未上电转换为上电时,通道输出跟随输入的逻辑状 PD PU H或开路 缺省 Χ 当 VDD1 从上电转换为未上电时,通道输出采用选定的默认状 当 VDD2 未上电时,通道输出不确定<sup>[3]</sup>。当 VDD2 从未上电 PD 不确定 Χ Χ Χ 转换为通电时,通道输出跟随输入的逻辑状态。

表 13. 功能模式表[1]

V <sub>DD1</sub>	V <sub>DD2</sub>	输入 (INx) <sup>[2]</sup>	输出使能 (ENx)	输出(OUTx)	描述
备注:					

- [1]. VDDI =输入侧VDD; VDD2 = 输出侧 VDD; PU = 上电 (VDD ≥ 2.5 V); PD = 未上电 (VDD ≤ 1.7 V); X = 不相关; H = 高电平; L =低电平; Z = 高阻态。
- [2]. 强驱动输入信号可通过内部保护二极管为浮动VDD提供弱供电,并导致输出不确定。
- [3]. 当 1.7 V < VDD1, VDD2 < 2.5V时,输出为不确定状态。

### 11.3 绝缘寿命

绝缘寿命预测数据采用行业标准的介质层时变击穿(TDDB)测试方法收集。 在此测试中,隔离栅每一侧的所有引脚都连接在一起,形成一个双端设备,并在两侧之间施加高电压; TDDB 测试设置请参见下图。 绝缘击穿数据是在过温情况下施加不同高压并以 60 Hz 频率切换时收集的。对于加强绝缘,VDE 标准要求使用故障率低于百万分之一(ppm)的 TDDB 投影线。 尽管在指定的工作隔离电压下预期的最短绝缘寿命为 20 年,但 VDE 加强认证要求额外的工作电压安全余量为 20%,寿命余量为 87.5%,这意味着在工作电压比规定值高 20%情况下要求达到最低 37.5 年的绝缘寿命。

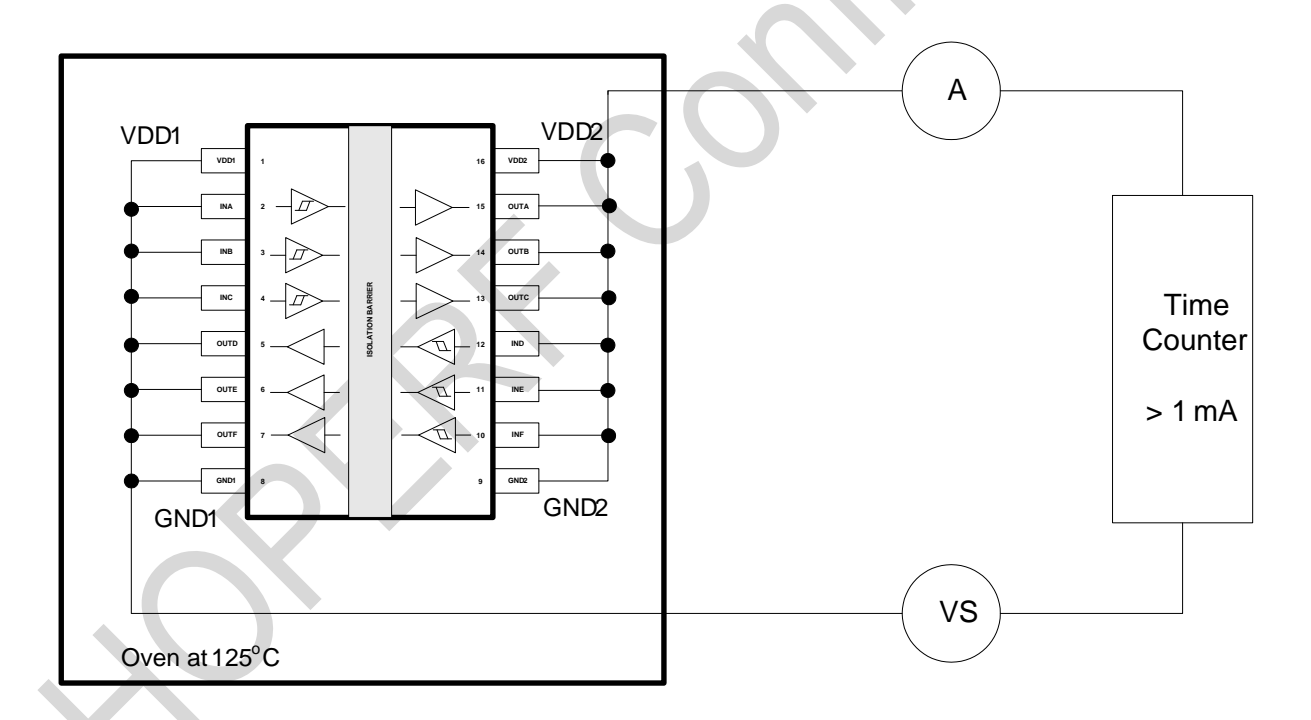


图 9.绝缘寿命测试方式

# 12 封装外形

CMT826X SOIC16 封装信息如下图所示。

## 12.1 CMT826X 窄体 SOIC-16 封装

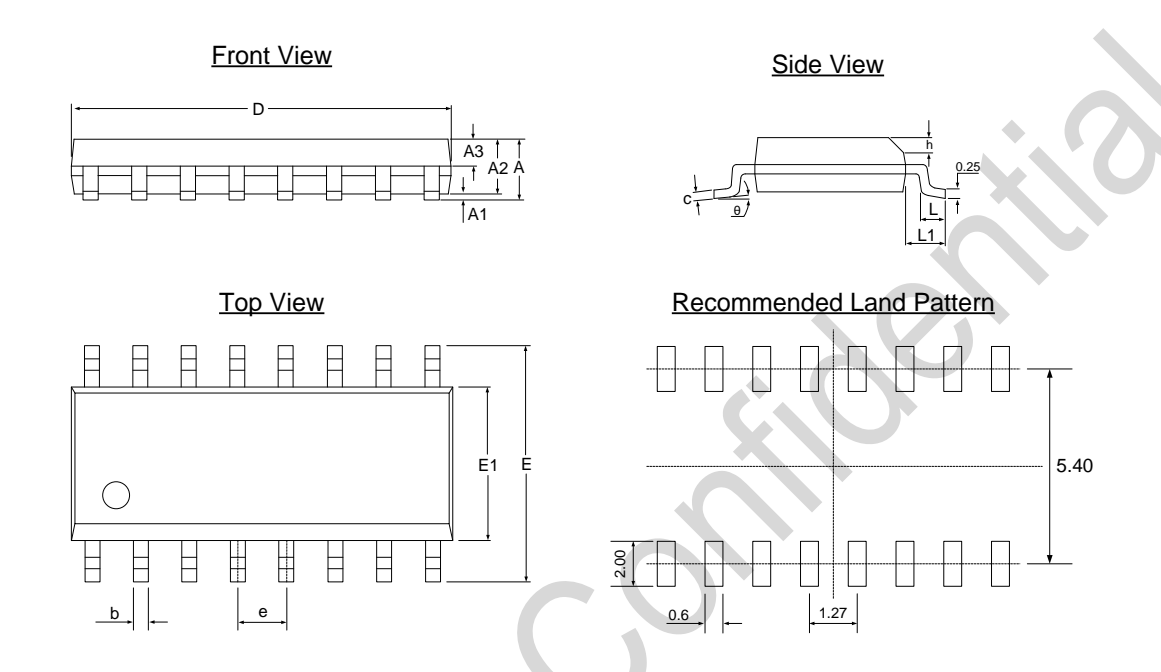


图 10. SOIC-16 窄体封装

表 14. SOIC-16 窄体封装尺寸

	尺寸 <b>(毫米 mm)</b>						
符号	日子社		目 1. 件				
	最小值	典型值	最大值				
A	-	-	1.75				
A1	0.10	-	0.25				
b	0.36	-	0.49				
С	0.19	-	0.25				
D	9.80	9.90	10.0				
E	5.80	-	6.20				
E1	3.80	3.90	4.00				
е		1.27					
L	0.40	-	1.00				
L1		1.05					
θ	0	-	8°				

## 12.2 CMT826X 宽体 SOIC-16 封装

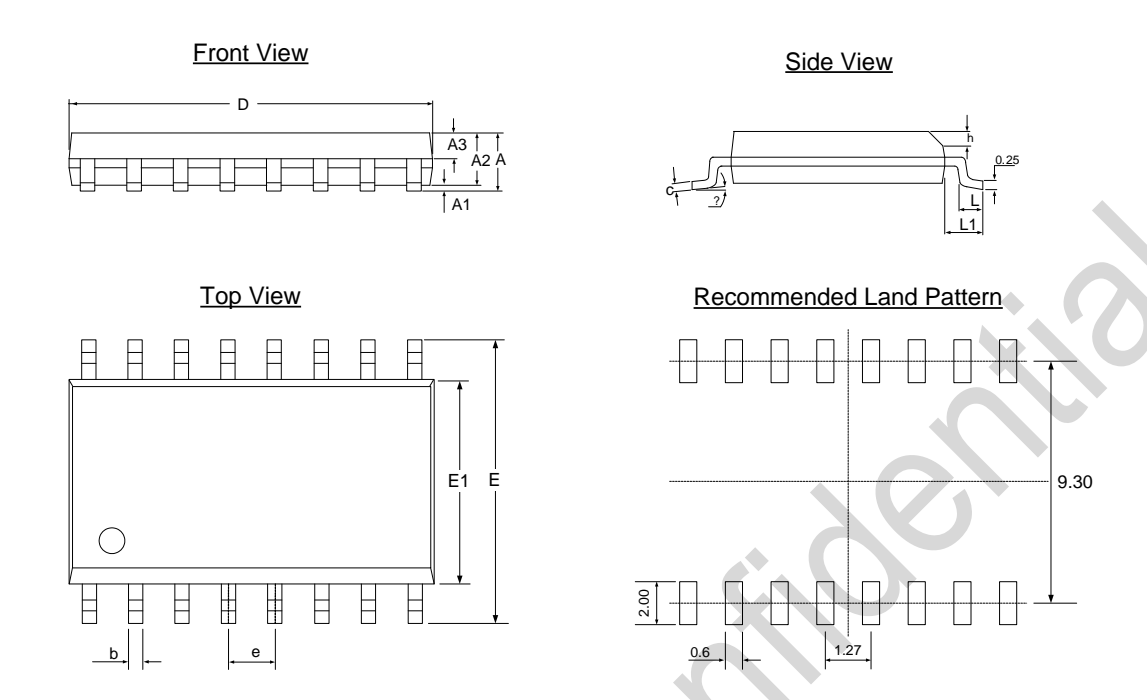


图 11. SOIC-16 宽体封装 表 15. SOIC-16 宽体封装尺寸

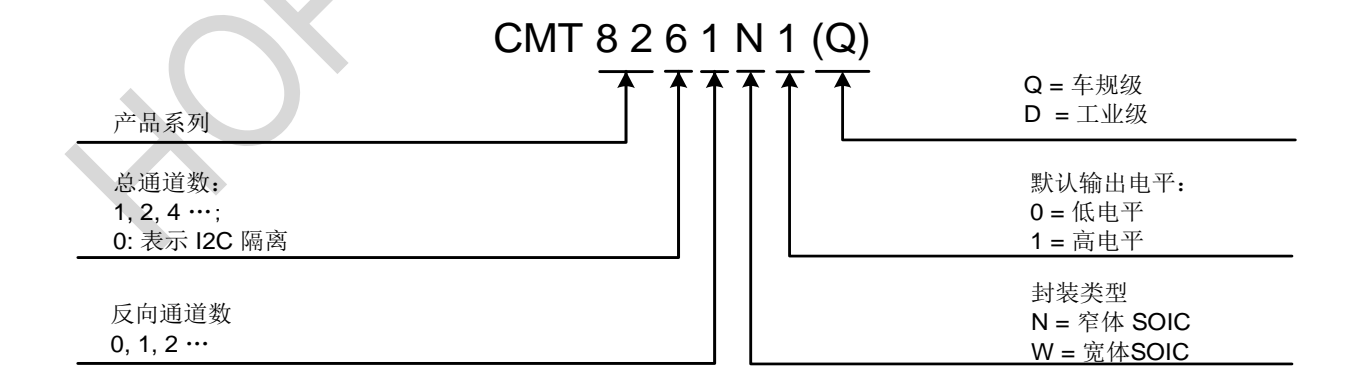
Art II	尺寸 (毫米 mm)					
符号	最小值	典型值	最大值			
А		-	2.65			
A1	0.10	0.20	0.30			
A2	2.25	2.30	2.35			
A3	1.00	1.05	1.10			
b	0.35	0.37	0.43			
С	0.15	0.20	0.30			
D	10.30	10.40	10.50			
E	10.10	10.30	10.50			
E1	7.40	7.50	7.60			
е	1.14	1.27	1.40			
L	0.65	0.70	0.85			
L1		1.40				
θ	0	-	8°			

# 13 订购信息

表 16. 产品订购列表

产品型号	起订量	隔离耐压 (kV)	总通道数	正向通道数	反向通 道数	最大速率 (Mbps)	默认输出 电平	是否 车规	封装	MSL
CMT8260W0	1000	5	6	6	0	150	低	否	WB SOIC-16	3
CMT8260W1	1000	5	6	6	0	150	高	否	WB SOIC-16	3
CMT8261W0	1000	5	6	5	1	150	低	否	WB SOIC-16	3
CMT8261W1	1000	5	6	5	1	150	高	否	WB SOIC-16	3
CMT8262W0	1000	5	6	4	2	150	低	否	WB SOIC-16	3
CMT8262W1	1000	5	6	4	2	150	画	否	WB SOIC-16	3
CMT8263W0	1000	5	6	3	3	150	低	否	WB SOIC-16	3
CMT8263W1	1000	5	6	3	3	150	高	否	WB SOIC-16	3
CMT8260N0	3000	3.75	6	6	0	150	低	否	NB SOIC-16	3
CMT8260N1	3000	3.75	6	6	0	150	高	否	NB SOIC-16	3
CMT8261N0	3000	3.75	6	5	1	150	低	否	NB SOIC-16	3
CMT8261N1	3000	3.75	6	5	1	150	画	否	NB SOIC-16	3
CMT8262N0	3000	3.75	6	4	2	150	低	否	NB SOIC-16	3
CMT8262N1	3000	3.75	6	4	2	150	高	否	NB SOIC-16	3
CMT8263N0	3000	3.75	6	3	3	150	低	否	NB SOIC-16	3
CMT8263N1	3000	3.75	6	3	3	150	高	否	NB SOIC-16	3

### 产品命名规则:



如需了解更多产品及产品线信息,请访问 <u>www.hoperf.com</u>。

有关采购或价格需求,请联系 <u>sales@hoperf.com</u>或者当地销售代表。

# 14 编带信息

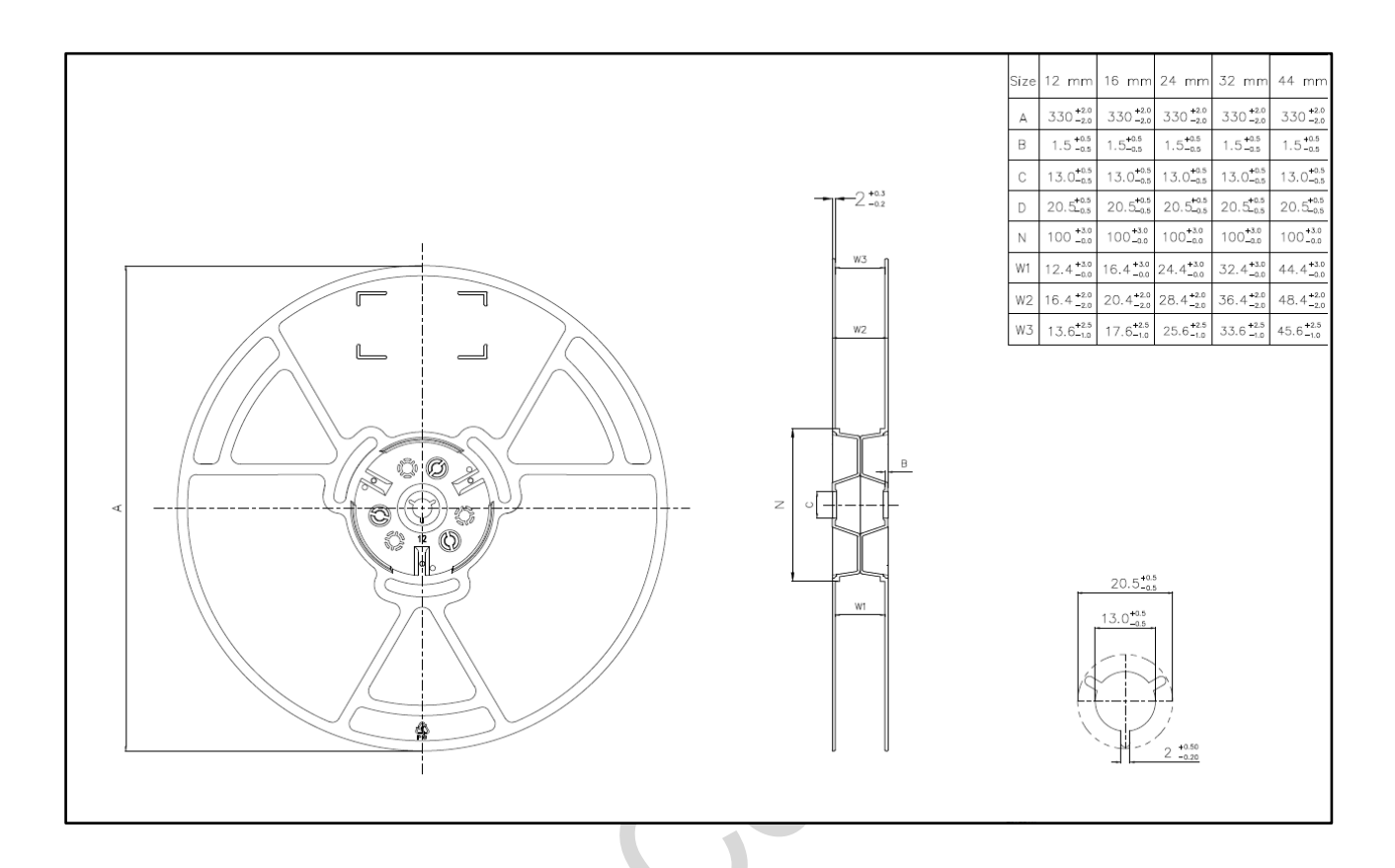


图 15. CMT826X WB SOIC-16 卷带信息

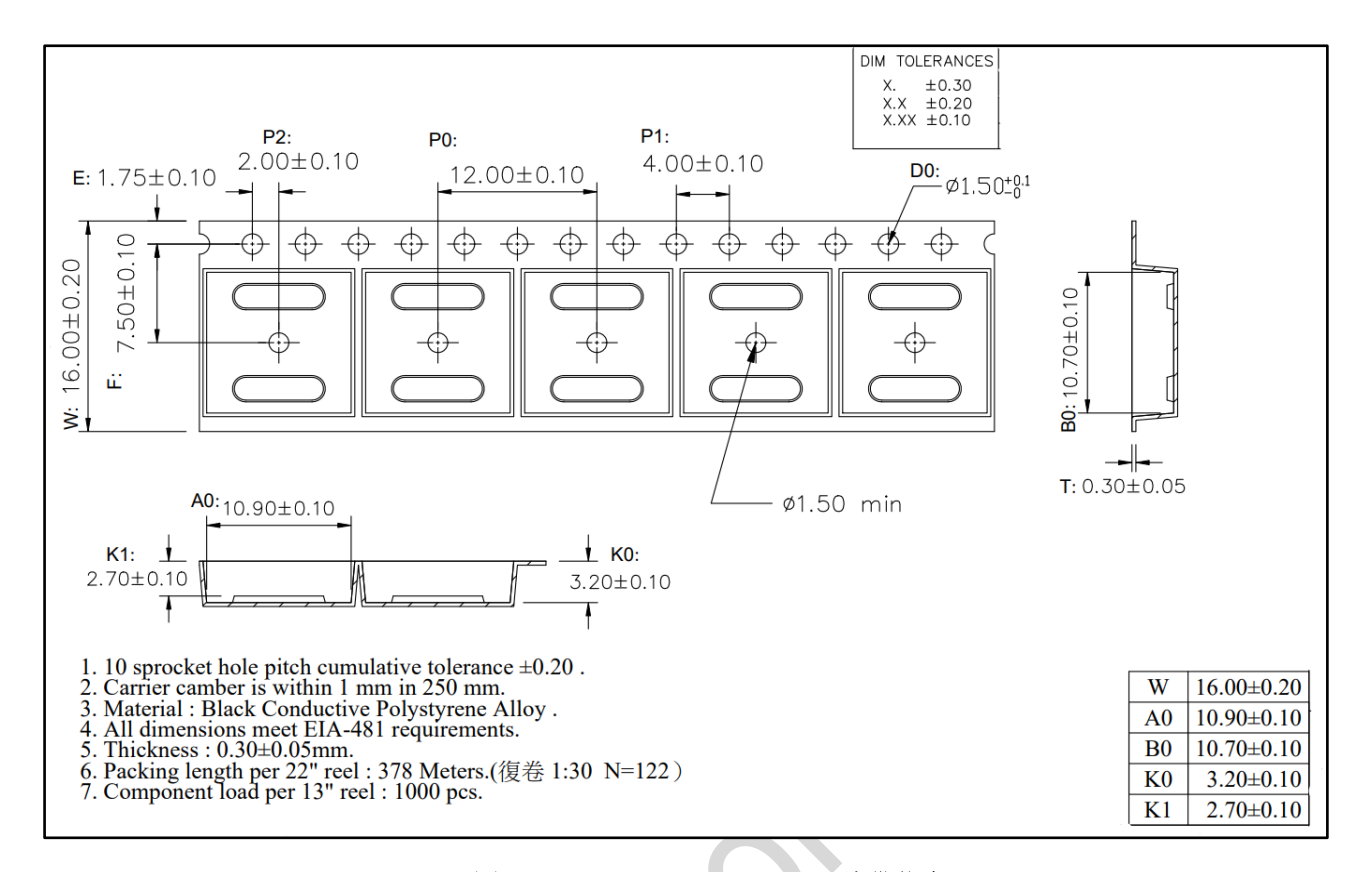


图 16. CMT826X WB SOIC-16 编带信息

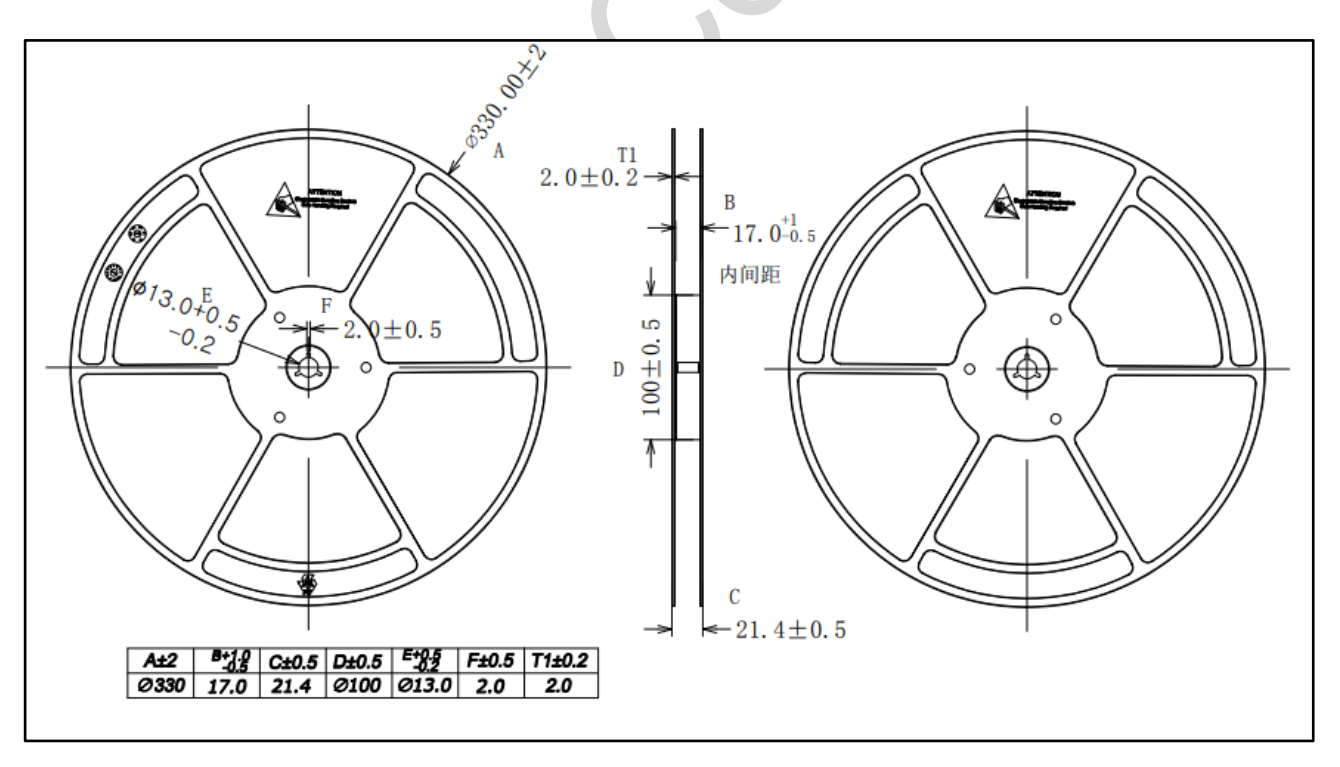


图 17. CMT826X NB SOIC-16 卷带信息

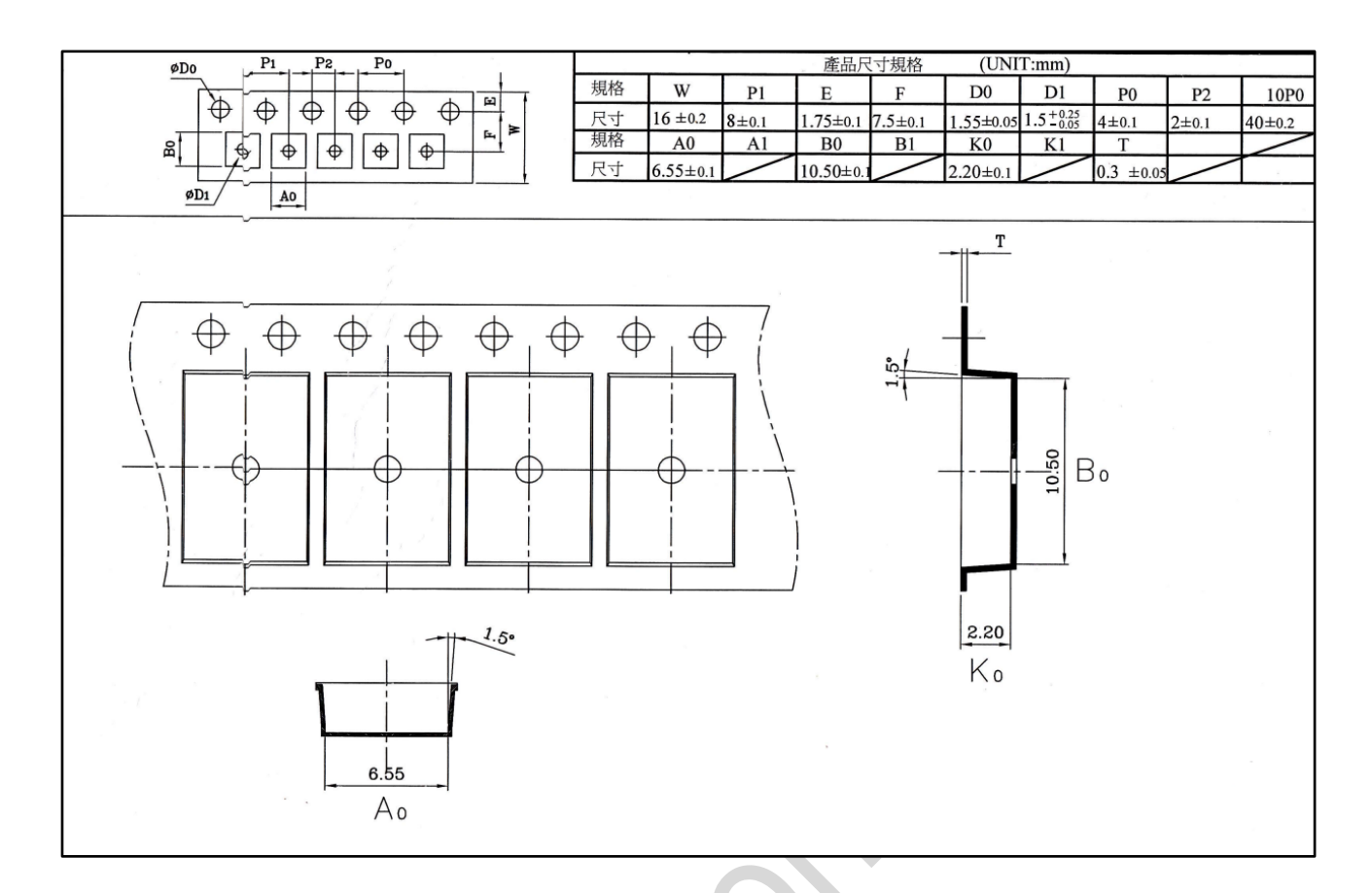


图 18. CMT826X NB SOIC-16 编带信息

# 15 文档变更记录

表 17. 文档变更记录

版本号	章节	变更描述	日期
0.1	所有	初始版本	2023/2/8
0.0	13	修改丝印信息	0000/0/0
0.2	15	新增编带信息	2023/3/9
0.3	所有	删除顶部丝印章节	
		增加 CQC 证书编号	2023/04/20
0.4	所有	隔离电压改为 5.7kVrms	2024/3/21
		订购信息增加 MSL 等级信息	2024/12/3

## 16 联系方式

深圳市华普微电子股份有限公司

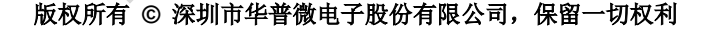
中国广东省深圳市南山区西丽街道万科云城三期 8A 栋 30 层

邮编: 518052

电话: +86 - 755 - 82973805

销售: sales@hoperf.com

网址: www.hoperf.cn



深圳市华普微电子股份有限公司(以下简称: "HOPERF")保留随时更改、更正、增强、修改 HOPERF 产品和/或本文档的权利,恕不另行通知。非经本公司书面许可,任何单位和个人不得擅自摘抄、复制本文档内容的部分或全部,并不得以任何形式传播。由于产品版本升级或其他原因,本文档内容会不定期进行更新。HOPERF 的产品不建议应用于生命相关的设备和系统,在使用该器件中因为设备或系统运转失灵而导致的损失,HOPERF 不承担任何责任。HOPERF 商标为深圳市华普微电子股份有限公司的商标,本文档提及的其他所有商标或注册商标,由各自的所有人拥有。